

期末考试试卷

课程名称: 电磁学基础 IIIA 任课教师: 杨捷、刘占伟、李峰、赵力

学院: \_\_\_\_\_ 专业: \_\_\_\_\_ 年级: \_\_\_\_\_

姓名: \_\_\_\_\_ 校园卡号: \_\_\_\_\_

题号	一	二	三	四	五	总分
分数						

一、(10 分) 分别写出自由电磁场与一般电磁场的拉格朗日密度, 并变分得到场方程。

二 (20 分) 写出协变形式的洛伦兹力公式 (分别写点电荷与力密度形式的协变洛伦兹公式), 并推导四维协变形式的能量守恒与动量守恒。

三、(30 分) 带电粒子电荷量为  $q$ , 速度为  $0.9c$ , 在某介质中作匀速直线运动, 已知介质中  $n=1.3$ .

1. 写出带电粒子的电磁势 (即李娜——维谢尔势)

2. 仅考虑切伦科夫辐射, 在哪个方向上有辐射?

3.  $t=1s$  时:

(1) 写出  $t'$  的表达式;

(2)  $t'$  比  $t$  哪个大;

(3) 在坐标原点处计算  $t'$ , 有几种可能的值?

(4) 计算坐标原点的电势。

## 四、(20 分) 等离子体

1. 我们日常接受到的太阳光都由太阳的光球层发出。从光在等离子体中的传播规律出发, 结合太阳光谱性质, 判断光球层中的电子密度与金属铜中的自由电子密度比, 哪个大? (金属铜的截止频率在  $X$  光频段)。

2. 光球层的质量密度约  $3 \times 10^{-4} kg/m^3$ 。假设光球层由等量的质子与电子组成, 而质子质量约  $1 GeV \sim 2 \times 10^{-27} kg$ , 求光球层的电子数密度。

3. 给定精细结构常数  $\alpha = e^2 / 4\pi = 1/137$ , 电子质量  $m_e \sim 0.5 MeV$ , 且在自然单位制下  $1 = \hbar c \sim 197 fm \cdot MeV = c \sim 3 \times 10^8 m/s$ ,  $1 fm = 10^{-15} m$ , 求

$$\text{光球层的截止频率 } \omega_p = \sqrt{\frac{n_0 e^2}{m_e}}$$

## 五、(20 分) AB 效应与超导体的电磁性质

(1) 简述电磁 AB 效应;

(2) 简述超导体性质特征。

(3) 根据伦敦方程求出在超导体中的透射深度;

(4) 半径为  $R$ 、处于理想 Meissner 态的超导球置于均匀磁场中, 求外部真空的磁场分布。

### 参考提示与电磁 3A 期末备考建议

期末考试是四位老师一起出题。

杨捷老师的题目大多来自 PPT 与作业类似思路或原题，因此复习时要认真做一遍作业，自己推导 PPT 的公式和例题。

刘占伟老师教的是带电粒子电磁势与辐射方面的内容，这部分要细心推导公式，课后习题要尽量自己写，今年考察内容非常放水，但以后的考试不一定会还是这个难度。

李峰老师的等离子体难度不小，但今年也特别放水，以往考察过 Drude 模型，对数学有一定要求，这门课经常用到傅里叶变换求色散关系，这部分内容要重点看。

赵力老师考察的内容大部分为讲义上的例题和思考题，课上认真听讲，自己做一遍经典例题就问题不大。

#### 一、(10 分)

自由电磁场的拉格朗日量密度： $L = -\frac{1}{4\mu_0} F_{\alpha\beta} F_{\alpha\beta}$

一般电磁场的拉格朗日量密度： $L' = -\frac{1}{4\mu_0} F_{\alpha\beta} F_{\alpha\beta} + J_\alpha A_\alpha$

计算偏微分：

$$\frac{\partial L}{\partial A_\mu} = -\frac{1}{4\mu_0} \frac{\partial(F_{\alpha\beta} F_{\alpha\beta})}{\partial A_\mu} = -\frac{1}{2\mu_0} F_{\alpha\beta} \frac{\partial(F_{\alpha\beta})}{\partial A_\mu}$$

因为  $F_{\alpha\beta} = \partial_\alpha A_\beta - \partial_\beta A_\alpha$ ，则  $\frac{\partial F_{\alpha\beta}}{\partial A_\mu} = 0$ ，故  $\frac{\partial L}{\partial A_\mu} = 0$

$$\begin{aligned} \frac{\partial L}{\partial(\partial_\mu A_\nu)} &= -\frac{1}{2\mu_0} F_{\alpha\beta} \frac{\partial(F_{\alpha\beta})}{\partial(\partial_\mu A_\nu)} = -\frac{1}{2\mu_0} F_{\alpha\beta} \frac{\partial(\partial_\alpha A_\beta - \partial_\beta A_\alpha)}{(\partial_\mu A_\nu)} \\ &= -\frac{1}{2\mu_0} F_{\alpha\beta} (\delta_{\alpha\mu} \delta_{\beta\nu} - \delta_{\beta\mu} \delta_{\alpha\nu}) = -\frac{1}{\mu_0} F_{\mu\nu} \end{aligned}$$

故代入自由电磁场的拉格朗日方程：

$$\frac{\partial L}{\partial A_\nu} - \frac{\partial}{\partial x_\mu} \frac{\partial L}{\partial(\partial_\mu A_\nu)} = 0$$

得

$$\partial_\mu F_{\mu\nu} = 0$$

接下来计算

$$\frac{\partial L'}{\partial A_\mu} = \frac{\partial(J_\alpha A_\alpha)}{\partial A_\mu} = J_\mu$$

$$\begin{aligned} \frac{\partial L'}{\partial(\partial_\mu A_\nu)} &= -\frac{1}{2\mu_0} F_{\alpha\beta} \frac{\partial(F_{\alpha\beta})}{\partial(\partial_\mu A_\nu)} + 0 = -\frac{1}{2\mu_0} F_{\alpha\beta} \frac{\partial(\partial_\alpha A_\beta - \partial_\beta A_\alpha)}{(\partial_\mu A_\nu)} \\ &= -\frac{1}{2\mu_0} F_{\alpha\beta} (\delta_{\alpha\mu} \delta_{\beta\nu} - \delta_{\beta\mu} \delta_{\alpha\nu}) = -\frac{1}{\mu_0} F_{\mu\nu} \end{aligned}$$

故由  $\frac{\partial L'}{\partial A_\nu} - \frac{\partial}{\partial x_\mu} \frac{\partial L'}{\partial(\partial_\mu A_\nu)} = 0$  得

$$J_\nu + \frac{1}{\mu_0} \partial_\mu F_{\mu\nu} = 0$$

整理得

$$\partial_\mu F_{\mu\nu} = -\mu_0 J_\nu$$

#### 二、(20 分)

点电荷： $K_\mu = e F_{\mu\nu} u_\nu$

电磁场： $f_\mu = F_{\mu\nu} J_\nu$

能动张量表达式  $T_{\mu\nu} = \frac{1}{\mu_0} \left( F_{\mu\alpha} F_{\alpha\nu} + \frac{1}{4} \delta_{\mu\nu} F_{\alpha\beta} F_{\alpha\beta} \right)$

则

$$\partial_{\mu} T_{\mu\nu} = \frac{1}{\mu_0} \left[ \partial_{\mu} (F_{\mu\alpha} F_{\alpha\nu}) + \frac{1}{4} \partial_{\nu} (F_{\alpha\beta} F_{\alpha\beta}) \right]$$

单独计算

$$\partial_{\mu} (F_{\mu\alpha} F_{\alpha\nu}) = F_{\alpha\nu} \partial_{\mu} F_{\mu\alpha} + F_{\mu\alpha} \partial_{\mu} F_{\alpha\nu} = -\mu_0 F_{\alpha\nu} J_{\alpha} + F_{\mu\alpha} \partial_{\mu} F_{\alpha\nu}$$

而

$$\begin{aligned} F_{\mu\alpha} \partial_{\mu} F_{\alpha\nu} &= F_{\alpha\mu} \partial_{\alpha} F_{\mu\nu} = F_{\mu\alpha} \partial_{\alpha} F_{\nu\mu} \\ &= \frac{1}{2} F_{\mu\alpha} (\partial_{\alpha} F_{\nu\mu} + \partial_{\mu} F_{\alpha\nu}) \\ &= -\frac{1}{2} F_{\mu\alpha} \partial_{\nu} F_{\mu\alpha} \\ &= -\frac{1}{4} \partial_{\nu} (F_{\mu\alpha} F_{\mu\alpha}) \end{aligned}$$

前式用到了

$$\partial_{\alpha} F_{\nu\mu} + \partial_{\mu} F_{\alpha\nu} + \partial_{\nu} F_{\mu\alpha} = 0$$

故

$$\partial_{\mu} T_{\mu\nu} = -F_{\alpha\nu} J_{\alpha}$$

利用四维洛伦兹力公式则有

$$\partial_{\mu} T_{\mu\nu} = f_{\nu}$$

此即四维形式的能量动量守恒。

### 三、(30 分)

1. 根据李娜一维谢尔势，粒子的电磁势为

$$\varphi = \frac{1}{4\pi\epsilon_0} \frac{q}{R \left( 1 - \frac{n\vec{R} \cdot \vec{v}}{Rc} \right)} = \frac{1}{4\pi\epsilon_0} \frac{q}{R \left( 1 - 1.17\vec{e}_R \cdot \vec{e}_q \right)}$$

$$\vec{A} = \frac{1}{4\pi\epsilon_0} \frac{q\vec{v}}{R \left( 1 - \frac{\vec{R} \cdot \vec{v}}{Rc} \right)} = \frac{9}{40\pi\epsilon_0} \frac{qc\vec{e}_q}{R \left( 1 - 1.17\vec{e}_R \cdot \vec{e}_q \right)}$$

2. 切连科夫辐射需满足条件

$$v > \frac{c}{n}$$

可验证此题条件满足，故辐射角满足方程

$$1 - \frac{nv}{c} \cos \theta = 0$$

解得

$$\theta = \arccos \frac{100}{117}$$

此为与速度方向的夹角

3. (1) 在介质中，推迟量为

$$t' = t - \frac{nR}{c}$$

其中

$$R = |\vec{r} - \vec{r}_q(t')|$$

(2) 由表达式易知， $R > 0$ ，故

$$t' < t$$

(3) 此题中，在原点处

$$\vec{r} = 0$$

$$\vec{r}_q(t') = 0.9ct'$$

则有方程

$$t' = t - \frac{117}{100} |t'|$$

此时分别考虑

$$t' \geq 0, t < 0$$

可得

$$t'_1 = \frac{100}{217}s, t'_2 = -\frac{100}{17}s$$

可知此时有两种可能的值，这是因为粒子速度比介质中的光速传播地快，导致在负半轴的信息与正半轴某点传播的信息同时到达原点。

(4) 分别将两种情况代入式子可得

$$(i) t'_1 = \frac{100}{217}s:$$

$$R(t') = |0.9ct'| = \frac{90}{217}cs$$

而考虑方向问题有  $\vec{e}_R \cdot \vec{e}_q = -1$ ，则

$$\varphi = \frac{1}{4\pi\epsilon_0} \frac{q}{R(t')(1 - 1.17\vec{e}_R \cdot \vec{e}_q)} = \frac{5q}{18\pi\epsilon_0} cs^{-1}$$

此即  $t=1s$  时原点处电势。

$$(ii) t'_2 = -\frac{100}{17}s:$$

$$R(t') = |0.9ct'| = \frac{90}{17}cs$$

此时粒子当时在负半轴，因此  $\vec{e}_R \cdot \vec{e}_q = 1$ ，则

$$\varphi = \frac{1}{4\pi\epsilon_0} \frac{q}{R(t')(1 - 1.17\vec{e}_R \cdot \vec{e}_q)} = \frac{5q}{18\pi\epsilon_0} cs^{-1}$$

可以看到，虽然  $t'$  不同，但结果是相同的，两者并不矛盾。

#### 四、(20 分)

- [10'] 我们日常接受到的太阳光都由太阳的光球层发出。从光在等离子体中的传播规律出发，结合太阳光谱性质，判断光球层中的电子密度与金属铜中的自由电子密度比，哪个大？（金属铜的截止频率在X光频段）。

光球层内侧的阳光可以穿透光球层向宇宙传播，可见光球层的截止频率在可见光频段以下。而金属铜的截止频率在X光频段。由于截止频率与自由电子密度正相关，因此光球层的电子密度要小于金属铜的自由电子密度。

- [6'] 光球层的质量密度约  $3 \times 10^{-4} kg \cdot m^{-3}$ 。假设光球层由等量的质子与电子组成，而质子质量约  $1 GeV \sim 2 \times 10^{-27} kg$ ，求光球层的电子数密度。

假设光球层由等量的质子与电子组成，则电子数密度与质子数密度相等。另一方面，由于质子与电子间巨大的质量差异（1GeV vs 0.5 MeV，两千倍的差距），我们可以忽略电子对光球层质量的贡献。因此质子数密度为质量密度与质子质量之比，约  $1.5 \times 10^{23} m^{-3}$

- [4'] 给定精细结构常数  $\alpha \equiv e^2/4\pi = 1/137$ ，电子质量  $m_e \sim 0.5 MeV$ ，且在自然单位制下  $1 = \hbar c \sim 197 fm \cdot MeV = c \sim 3 \times 10^8 m/s$ ， $1 fm = 10^{-15} m$ ，求光球层的截止频率  $\omega_P = \sqrt{\frac{e^2 n_0}{m_e}}$

$$\begin{aligned} \omega_P^2 &= \frac{e^2 n_0}{m_e} = \frac{4\pi n_0}{137 m_e} \sim \frac{12 \times 1.5 \times 10^{23} m^{-3}}{137 \times 0.5 MeV} \sim \frac{3 \times 10^{23} \times 10^{-45} fm^{-3}}{10 MeV} \\ &\sim \frac{3 \times 10^{23} \times 10^{-45} fm^{-3}}{10 MeV} \times 200 fm \cdot MeV \\ &\sim 60 \times 10^{-22} fm^{-2} \end{aligned}$$

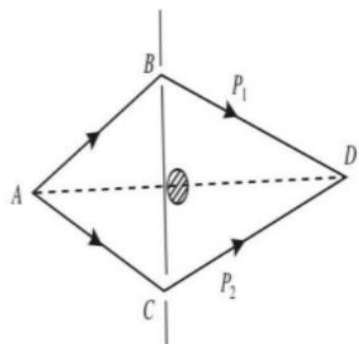
$$\begin{aligned} \omega_P &\sim 8 \times 10^{-11} fm^{-1} = 8 \times 10^{-11} \times 10^{15} m^{-1} \sim 8 \times 10^{-11} \times 10^{15} m^{-1} \times 3 \times 10^8 m/s \\ &= 2.4 \times 10^{13} Hz \end{aligned}$$

这个截止频率在远红外波段

（本题只要数量级估算正确即算对）

#### 五、(20 分)

- (1) (i) 磁 AB 效应：

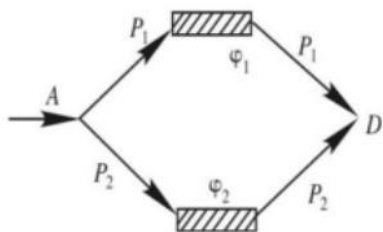


如图所示两束粒子在 A 点分别经过两条路径，于 D 点相交。中间有磁场，从而有磁通量但粒子经过区域无磁场，可推导得角度

$$\delta = -\frac{e}{\hbar c} \oint \vec{A}(\vec{r}) \cdot d\vec{r} = -\frac{e\phi}{\hbar c}$$

是一个可观测量，这个实验可证明磁矢势也是具有可观测量效应的。

(ii) 电 AB 效应:



如图所示两束粒子在 A 点分别经过两条路径，于 D 点相交。中间圆柱内有电势而无电场，可推导得角度

$$\delta = \frac{e}{\hbar} \int [\varphi_1(t) - \varphi_2(t)] dt$$

是一个可观测量，这个实验可证明电标势也是具有可观测量效应的。

(这两个量都是规范不变量)

(2) 零电阻率、磁通量子化、完全抗磁性、具有临界温度、临界磁场、临界电流等。

(3) 根据伦敦方程

根据静场的麦克斯韦方程组

$$\frac{\partial \vec{J}}{\partial t} = \alpha \vec{E}$$

$$\nabla \times \vec{J} = -\alpha \vec{B}$$

代入 2 式得

$$\vec{J} = \nabla \times \vec{B}$$

因为

$$\nabla \times (\nabla \times \vec{B}) = -\alpha \vec{B}$$

$$\nabla \times (\nabla \times \vec{B}) = \nabla(\nabla \cdot \vec{B}) - \nabla^2 \vec{B}$$

$$\nabla \cdot \vec{B} = 0$$

故

$$\nabla^2 \vec{B} - \mu_0 \alpha \vec{B} = 0$$

代入  $\alpha = \frac{n_s e^2}{m}$  则

$$\vec{B} = \vec{B}_0 e^{-x \sqrt{\frac{\mu_0 n_s e^2}{m}}}$$

则投射深度为

$$\lambda_L = \sqrt{\frac{m}{\mu_0 n_s e^2}}$$

(4) 由于空间中没有自由电流，可定义磁标势满足

$$\nabla^2 \varphi = 0$$

$$-\nabla \varphi = \vec{H}$$

故边界条件为

$$\varphi|_{r\rightarrow+\infty}=-\vec{H}r\cos\theta$$

$$\varphi|_{r=0}\text{有限}$$

故

$$\varphi=\begin{cases}\sum_{l=0}A_lr^lP_l(\cos\theta) & r\leq R \\ -H_0r\cos\theta+\sum_{l=0}B_l\frac{1}{r^{l+1}}P_l(\cos\theta) & r>R\end{cases}$$

处于理想 Meissner 态的超导球内部无磁场，因此

$$-\mu_0\partial_r\varphi|_{r=0}=0$$

此即

$$H_0\cos\theta+\sum_{l=0}B_l\frac{l+1}{R^{l+2}}P_l(\cos\theta)=0$$

解得

$$B_l=-\frac{1}{2}H_0R^3\delta_{l1}$$

再根据在  $B_l=-\frac{1}{2}R^3\delta_{l1}$  时磁标势连续，则

$$\varphi=\begin{cases}-\frac{3}{2}H_0r\cos\theta & r\leq R \\ -H_0r\cos\theta-\frac{H_0R^3}{2r^2}\cos\theta & r>R\end{cases}$$

整理得

$$\varphi=\begin{cases}-\frac{3}{2}\vec{H}_0\cdot\vec{r} & r\leq R \\ -\vec{H}_0\cdot\vec{r}-\frac{\vec{H}_0\cdot\vec{r}}{2r^3}R^3 & r>R\end{cases}$$

这样有

$$\vec{H}=\begin{cases}-\frac{3}{2}\vec{H}_0 & r\leq R \\ \vec{H}_0+\frac{\vec{H}_0-3(\vec{H}_0\cdot\hat{r})\hat{r}}{2r^3}R^3 & r>R\end{cases}$$

故球外磁场为

$$\vec{B}=\mu_0\vec{H}=\mu_0\vec{H}_0+\mu_0R^3\frac{\vec{H}_0-3(\vec{H}_0\cdot\hat{r})\hat{r}}{2r^3}$$